

01

©1992 г.

## БЫСТРОЕ ВЫЧИСЛЕНИЕ ПОЛЯ ВНУТРИ СОЛЕНОИДА

Л.Б. Луганский, Д.Б. Диатроптов

При расчете магнитного поля внутри аксиально-симметричных магнитных систем методом центральной зоны необходимо вычислять коэффициенты в разложении поля в ряд по сферическим гармоникам. До сих пор в литературе были известны аналитические выражения лишь для нескольких младших коэффициентов этого разложения. В данной работе описывается регулярный метод вычисления указанных коэффициентов произвольного порядка для круговых катушек прямоугольного сечения с однородным распределением тока по сечению катушки  $j = \text{const}$  и распределением вида  $j(\rho) \propto 1/\rho$ , где  $\rho$  — расстояние элемента тока от оси соленоида.

### Разложение поля по сферическим гармоникам

Вычисление магнитного поля вне оси соленоида, который нельзя считать тонким, требует численного интегрирования, занимающего большое время. В большинстве задач оптимизация токовых систем представляет интерес поле только в окрестности некоторой точки на оси системы. В этом случае для нахождения поля удобен математический аппарат разложения поля по сферическим гармоникам — так называемый метод центральной зоны, основывающийся на том, что в аксиально-симметричной системе компоненты магнитного поля в окрестности центра системы могут быть представлены в виде рядов [1].

$$B_z(R, \vartheta) = \sum_{n=0}^{\infty} C_n R^n P_n(\cos \vartheta), \quad (1.1)$$

$$B_r(R, \vartheta) = - \sum_{n=1}^{\infty} \frac{C_n}{n+1} R^n P_n^1(\cos \vartheta). \quad (1.2)$$

Здесь  $R, \vartheta$  — сферические, а  $z = R \cos \vartheta, r = R \sin \vartheta$  — цилиндрические координаты точки наблюдения (см. рисунок),  $P_n, P_n^1$  — полином и присоединенный полином Лежандра.

Коэффициенты  $C_n$  определяются геометрией катушек системы и токами в них. Ряды заведомо сходятся при  $R < R_0$ , где  $R_0$  — радиус сферы, не содержащей токовых элементов.

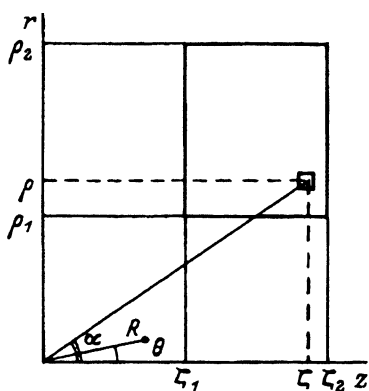


Рис. Координаты, используемые в расчетах.

При  $\vartheta = 0$  поле рассматривается на оси соленоида, ряд (1.1) принимает вид

$$B_z(z) = \sum_{n=0}^{\infty} C_n z^n, \quad (1.3)$$

откуда следует, что коэффициенты  $C_n$  связаны с пространственными производными поля соотношениями

$$C_n = \frac{1}{n!} \left. \frac{d^n B_z(z)}{dz^n} \right|_{z=0}. \quad (1.4)$$

Первичным элементом аксиально-симметричной обмотки является круговой виток, несущий ток  $I$ . Для него коэффициенты  $C_n$  известны [1] и в гауссовой системе единиц имеют вид

$$C_n = \frac{2\pi}{c} I \varphi_n(\zeta, \rho), \quad \varphi_n(\zeta, \rho) = \frac{\sin^{n+2} \alpha}{\rho^{n+1}} P_{n+1}^1(\cos \alpha), \quad \operatorname{tg} \alpha = \rho/\zeta, \quad (1.5)$$

где  $\zeta, \rho$  — цилиндрические координаты витка.

Для круговой катушки произвольного сечения  $S$  с плотностью тока  $j(\zeta, \rho)$  коэффициенты разложения  $C_n$  получаются из (1.5) интегрированием по сечению катушки

$$C_n = \frac{2\pi}{c} \iint_S j(\zeta, \rho) \varphi_n(\zeta, \rho) d\zeta d\rho. \quad (1.6)$$

В большинстве случаев на практике используются катушки прямоугольного сечения с однородным распределением тока по сечению  $j = \text{const}$  или с зависимостью вида  $j(\rho)$ . Для такой катушки коэффициенты  $C_n$  являются функциями плотности тока  $j(\rho)$  и координат вершин сечения катушки  $\zeta_1, \zeta_2, \rho_1, \rho_2$ .

$$C_n = \frac{2\pi}{c} F_n \left| \zeta_2 \right|_{\zeta_1}^{\rho_2}, \quad F_n \left| \zeta_2 \right|_{\zeta_1}^{\rho_2} = \int_{\rho_1}^{\rho_2} \int_{\zeta_1}^{\zeta_2} j(\rho) \varphi_n(\zeta, \rho) d\zeta d\rho. \quad (1.7)$$

В литературе имеются [2] аналитические выражения нескольких младших коэффициентов  $C_n$  с четными  $n$  для круговой катушки прямоугольного сечения, полученные дифференцированием (1.4) известной формулы для магнитного поля на оси такой катушки при  $j = \text{const}$  и  $j = A/\rho$ . Регулярной процедуры расчета произвольных коэффициентов  $C_n$  до сих пор не было известно.

В настоящей работе описывается регулярный метод вычисления коэффициентов  $C_n$  любого порядка для круговой катушки прямоугольного сечения с  $j = \text{const}$  и  $j = A/\rho$ . Он основан на вычислении интеграла (1.7). Обозначим

$$f_n(\zeta, \rho) = \int j(\rho) \varphi_n(\zeta, \rho) d\zeta, \quad \rho = \text{const}, \quad (1.8)$$

$$F_n(\zeta, \rho) = \int f_n(\zeta, \rho) d\rho, \quad \zeta = \text{const}. \quad (1.9)$$

тогда

$$F_n \Big|_{\zeta_1}^{\zeta_2} \Big|_{\rho_1}^{\rho_2} = F_n(\zeta_2, \rho_2) - F_n(\zeta_2, \rho_1) - F_n(\zeta_1, \rho_2) + F_n(\zeta_1, \rho_1) \quad (1.10)$$

и искомый коэффициент разложения поля определяется формулой (1.7).

Для системы катушек результирующий коэффициент  $C_n$  вычисляется сложением соответствующих коэффициентов для отдельных катушек.

### Вычисление $F_n$ для $j = \text{const}$

Этот случай соответствует намотке  $N$  витков проводника с током  $i$ . Плотность тока равна

$$j = \frac{Ni}{(\zeta_2 - \zeta_1)(\rho_2 - \rho_1)}. \quad (2.1)$$

При  $n = 0$   $P_1^1(\cos \alpha) = \sin \alpha$  и интегралы (1.8), (1.9) приводят к выражению

$$F_0(\zeta, \rho) = j\zeta \ln(\rho + \sqrt{\zeta^2 + \rho^2}). \quad (2.2)$$

При  $n = 1$   $P_2^1(\cos \alpha) = 3 \sin \alpha \cos \alpha$  и

$$F_1(\zeta, \rho) = j \left( \frac{\rho}{\sqrt{\zeta^2 + \rho^2}} - \ln \left( \rho + \sqrt{\zeta^2 + \rho^2} \right) \right). \quad (2.3)$$

В последней формуле опущено появляющееся при интегрировании слагаемое  $\ln \zeta$ , поскольку при выполнении процедуры (1.10) его вклад обращается в нуль.

При  $n \geq 2$  интеграл (1.8) можно вычислить с помощью формулы

$$\int (1 - x^2)^{\nu/2-1} P_\nu^\mu(x) dx = \frac{1}{\mu - \nu} (1 - x^2)^{\nu/2} P_{\nu-1}^\mu(x). \quad (2.4)$$

Следует обратить внимание, что в формуле 1.12.1.10 справочника [3] дано неправильное выражение правой части.

В результате интегрирования получается выражение

$$f_n(\zeta, \rho) = -\frac{j}{n\rho^n} \sin^{n+1} \alpha P_n^1(\cos \alpha), \quad \operatorname{tg} \alpha = \rho/\zeta. \quad (2.5)$$

Последующее интегрирование (1.9) приводит к формуле

$$F_n(\zeta, \rho) = \frac{j}{n\zeta^{n-1}} G_n(\zeta, \rho), \quad (2.6)$$

где

$$G_n(\zeta, \rho) = \int u^{n-2} P_n^1(u) du, \quad u = \cos \alpha = \frac{\zeta}{\sqrt{\zeta^2 + \rho^2}}. \quad (2.7)$$

Присоединенный полином Лежандра можно вычислить по формуле [4]

$$P_n^1(u) = (1 - u^2)^{1/2} \sum_{r=0}^m a_{nr}(n - 2r) u^{n-2r-1}, \quad (2.8)$$

где

$$m = \begin{cases} (n-2)/2 & \text{при } N \text{ четном,} \\ (n-1)/2 & \text{при } N \text{ нечетном,} \end{cases}$$

а коэффициенты в сумме равны

$$a_{nr} = (-1)^r \frac{(2n-2r)!}{2^n r!(n-r)!(n-2r)!}.$$

Подставляя выражение (2.8) в формулу (2.7), получаем

$$G_n(u) = \int (1 - u^2)^{1/2} \sum_{r=0}^m a_{nr}(n - 2r) u^{2n-2r-3} du. \quad (2.9)$$

Здесь можно выполнить почленное интегрирование, пользуясь формулой 1.2.46.4 справочника [5]

$$\int (1 - u^2)^{1/2} u^{2p+1} du = \sum_{k=0}^p \frac{(-1)^k}{2k+3} \left(\frac{p}{k}\right) (1 - u^2)^{k+3/2}, \quad (2.10)$$

где

$$\left(\frac{p}{k}\right) = \frac{p!}{k!(p-k)!}$$

— биномиальный коэффициент.

Результат интегрирования будет иметь вид

$$G_n(u) = (1 - u^2)^{3/2} \sum_{k=0}^{n-2} A_{nk} (1 - u^2)^k \quad (2.11)$$

Во входящем сюда полиноме перегруппируем члены, в итоге получаем формулу

$$G_n(u) = (1 - u^2)^{3/2} R_n(u), \quad (2.12)$$

где полином  $R(u)$  имеет вид

$$R_n(u) = \sum_{k=0}^{n-2} B_{nk}(u^2)^k. \quad (2.13)$$

Для нахождения коэффициентов  $B_{nk}$  продифференцируем выражение (2.12) и приравняем подынтегральному выражению формулы (2.9), коэффициенты в котором известны. Тогда получим, что коэффициенты  $B_{nk}$  вычисляются рекурсивно сверху вниз по индексу  $k = n - 3, n - 4, \dots, 0$  по следующим формулам:

$$B_{nk} = \frac{2k+2}{2k+3} B_{n,k+1} - \frac{1}{2k+3} Q_{nk}, \quad (2.14)$$

$$Q_{nk} = -\frac{(2k+4-n)(2k+5-n)}{2(2k+5)(n-k-2)} Q_{n,k+1}, \quad (2.15)$$

причем в начале рекурсии следует положить

$$Q_{n,n-2} = \frac{(2n-1)!!}{(n-1)!} = U_n, \quad (2.16)$$

$$B_{n,n-2} = -\frac{(2n-3)!!}{(n-1)!} = V_n. \quad (2.17)$$

Вычисления при  $n \geq 3$  можно произвести по рекуррентным формулам

$$U_n = \frac{2n-1}{n-1} U_{n-1}, \quad U_2 = 3, \quad (2.18)$$

$$V_n = \frac{2n-3}{n-1} V_{n-1}, \quad V_2 = -1. \quad (2.19)$$

Итак, мы получили регулярную процедуру для вычисления коэффициентов  $C_n$  разложения в ряд поля катушки прямоугольного сечения с однородной плотностью тока. Коэффициенты  $C_n$  вычисляются по формулам (1.7) и (1.10), где функции  $F_n$  при  $n = 0$  и  $1$  вычисляются по формулам (2.2) и (2.3), а при  $n \geq 2$  по формуле

$$F_n(\zeta, \rho) = j \frac{(1 - u^2)^{3/2}}{n \zeta^{n-1}} R_n(u), \quad u = \cos \alpha = \frac{\zeta}{\sqrt{\zeta^2 + \rho^2}}, \quad (2.20)$$

которая получается при подстановке (2.12) в (2.6). Полином  $R_n(u)$  находится по рекуррентной процедуре, описываемой формулами (2.13)–(2.19). Ниже приведены явные выражения полинома  $R_n$  для

$$n = 2, \dots, 8,$$

$$R_2(u) = -1,$$

$$R_3(u) = -\frac{1}{2} - \frac{3}{2}u^2,$$

$$R_4(u) = -\frac{1}{3} - \frac{1}{2}u^2 - \frac{5}{2}u^4,$$

$$R_5(u) = -\frac{1}{4} - \frac{3}{8}u^2 - \frac{35}{8}u^6,$$

$$R_6(u) = -\frac{1}{5} - \frac{3}{10}u^2 - \frac{3}{8}u^4 + \frac{7}{4}u^6 - \frac{63}{8}u^8,$$

$$R_7(u) = -\frac{1}{6} - \frac{1}{4}u^2 - \frac{5}{16}u^4 - \frac{35}{48}u^6 + \frac{105}{16}u^8 - \frac{231}{16}u^{10},$$

$$R_8(u) = -\frac{1}{7} - \frac{3}{14}u^2 - \frac{15}{56}u^4 - \frac{5}{16}u^6 - \frac{45}{16}u^8 + \frac{297}{16}u^{10} - \frac{429}{16}u^{12}.$$

Из формулы (2.20) видно, что приведенная схема расчета при  $n \geq 2$  не годится, когда  $\zeta_1$  или  $\zeta_2$  равны нулю. При  $\zeta = 0$  формула (2.5) дает

$$f_n(0, \rho) = -\frac{j}{n\rho^n} P_n^1(0), \quad (2.21)$$

а интегрирование (1.9) приводит к выражению

$$F_n(0, \rho) = \frac{j}{n(n-1)\rho^{n-1}} P_n^1(0) = \frac{j}{(n-1)\rho^{n-1}} P_{n-1}(0). \quad (2.22)$$

Эту величину следует вставлять в процедуру (1.10), когда  $\zeta_1$  или  $\zeta_2$  обращается в нуль при  $n \geq 2$ . Формулы (2.2) и (2.3) для  $F_0(\zeta, \rho)$  и  $F_1(\zeta, \rho)$  справедливы и при  $\zeta = 0$ .

### Вычисление $F_n$ для $j = A/\rho$

Этот случай соответствует биттеровскому геликоидальному соленоиду, спаянному из разрезных дисков толщины  $h$  с током  $I$ . Плотность тока равна

$$j = \frac{A}{\rho}$$

где

$$A = \frac{I}{h \ln(\rho_2/\rho_1)}. \quad (3.1)$$

При  $n = 0$  интегралы (1.8), (1.9) приводят к выражению

$$F_0(\zeta, \rho) = A \ln \left( \sqrt{\zeta^2 + \rho^2} - \zeta \right). \quad (3.2)$$

В последней формуле опущено появляющееся при интегрировании слагаемое  $\ln \rho$ , поскольку при выполнении процедуры (1.10) его вклад обращается в нуль.

При  $n \geq 1$  интегрирование (1.8), аналогичное (2.4), (2.5), приводит к формуле

$$f_n(\zeta, \rho) = -\frac{A}{n\rho^{n+1}} \sin^{n+1} \alpha P_n^1(\cos \alpha), \quad \operatorname{tg} \alpha = \rho/\zeta. \quad (3.3)$$

Последующее интегрирование (1.9) приводит к формуле

$$F_n(\zeta, \rho) = \frac{A}{n\zeta^n} G_n(\zeta, \rho), \quad (3.4)$$

где

$$G_n(\zeta, \rho) = \int \frac{u^{n-1}}{\sqrt{1-u^2}} P_n^1(u) du, \quad u = \cos \alpha = \frac{\zeta}{\sqrt{\zeta^2 + \rho^2}}. \quad (3.5)$$

Поскольку  $P_n^1(u) = \sqrt{1-u^2} \frac{dP_n(u)}{du}$ , то формула (3.5) приобретает вид

$$G_n(u) = \int u^{n-1} \frac{dP_n(u)}{du} du = u^n P_{n-1}(u). \quad (3.6)$$

Итак, мы получили регулярную процедуру для вычисления коэффициентов  $C_n$  разложения в ряд поля катушки прямоугольного сечения с распределением плотности тока  $j(\rho) = A/\rho$ . Коэффициенты  $C_n$  вычисляются по формулам (1.7) и (1.10), где функция  $F_n$  при  $n = 0$  вычисляется по формуле (3.2), а при  $n \geq 1$  по формуле

$$F_n(\zeta, \rho) = \frac{A}{n(\zeta^2 + \rho^2)^{n/2}} P_{n-1}(u), \quad u = \cos \alpha = \frac{\zeta}{\sqrt{\zeta^2 + \rho^2}}, \quad (3.7)$$

которая получается при подстановке (3.6) в (3.4).

### Применение методики

С помощью описанной методики рассчитывались многие системы из катушек прямоугольного сечения, предназначенные для получения однородного поля. В качестве примера рассмотрим систему из двух пар зеркально-симметричных катушек с одинаковой, постоянной по сечению плотностью тока (последовательное включение), оптимальная геометрия которых рассчитана в работе [6]. Для решения задачи оптимизации надо при пробных значениях координат вершин сечения всех катушек  $\zeta_1, \zeta_2, \rho_1, \rho_2$  находить значения  $B_z$  в нескольких десятках точек по выбранной рабочей области. В рассматриваемом случае оптимизация производится по поверхности сферы с радиусом около одной трети расстояния от центра системы до ближайшего токонесущего элемента. При этом оптимальная относительная средняя квадратичная неоднородность поля по объему рабочей сферы оказывается  $1 \cdot 10^{-5}$ . Для получения такой точности приходится вести вычисления с 11 знаками (6 б на действительное число) и суммировать ряд (1.1) до  $n = 10$ .

Значительно ускоряют вычисления три обстоятельства: во-первых, массив значений  $B_{nk}$  (2.13) не надо вычислять заново в процессе оптимизации, во-вторых, на данном шаге оптимизации, когда найдены коэффициенты разложения  $C_n$ , расчет поля в любой точке рабочей области производится очень быстро суммированием (1.1), в-третьих, благодаря симметрии системы играют роль только члены с четными  $n$ . Вклад зеркальной катушки удваивает величину  $C_n$ .

Время расчета карты поля этой системы на ЭВМ НР1000 составляет по 18 точкам 9 сс ( $1 \text{ сс} = 10^{-2} \text{ с}$  — квант времени на часах этой машины), а по 90 точкам 13 сс, тогда как при численном расчете методом однократного интегрирования [7] на это требуется по 18 точкам 10027 сс, а по 90 точкам — в 5 раз больше.

Во многих задачах синтеза заданного магнитного поля так называемым локальным методом требуется подбирать геометрию катушек магнитной системы таким образом, чтобы коэффициенты  $C_n$  принимали на перед заданные значения. Описанная методика позволяет легко вычислять нужные коэффициенты и осуществлять требуемый синтез.

### Список литературы

- [1] Смайт Б. Электростатика и электродинамика. М.: ИЛ, 1954. 604 с.
- [2] Монтгомери Д. Получение сильных магнитных полей с помощью соленоидов. М.: Мир, 1971. С. 265–268.
- [3] Прудников А.П., Брычков Ю.А., Маричев О.И. Интегралы и ряды. Дополнительные главы. М.: Наука, 1986. С. 38.
- [4] Уиттекер Э.Т., Ватсон Дж.Н. Курс современного анализа. Ч. 2. М.: Физматгиз, 1963. С. 109–119.
- [5] Прудников А.П., Брычков Ю.А., Маричев О.И. Интегралы и ряды. Элементарные функции. М.: Наука, 1981. 789 с.
- [6] Lugansky L.B. // Meas. Sci. Technol. 1990. Vol. 1. P. 53–58.
- [7] Алиевский Б.Л., Орлов В.Л. Расчет параметров магнитных полей осесимметричных катушек. М.: Энергоатомиздат, 1983. 112 с.

Институт физических проблем  
им. П.Л.Капицы  
Москва

Поступило в Редакцию  
10 октября 1991 г.